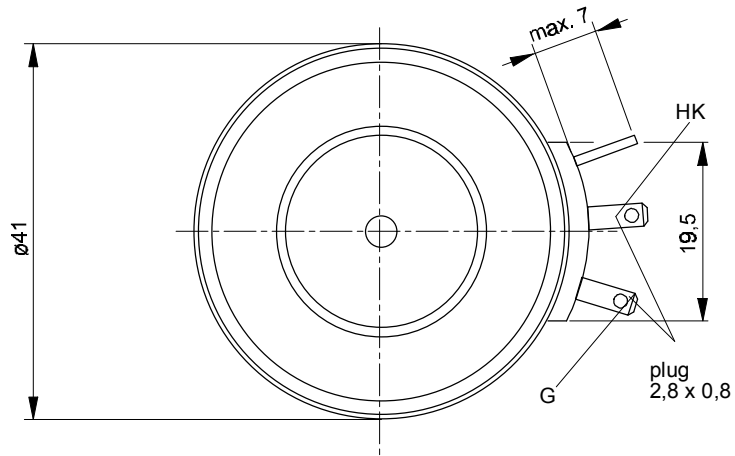
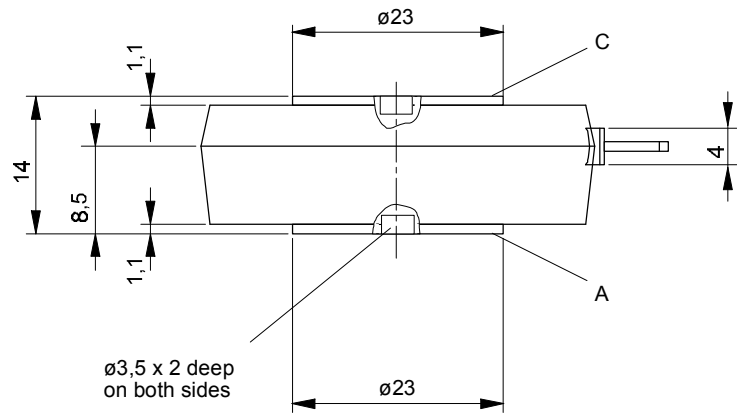


European Power-
Semiconductor and
Electronics Company

Marketing Information T 398 N



T 398 N

Elektrische Eigenschaften					
Höchstzulässige Werte					
Periodische Vorwärts- und Rückwärts-Spitzenperrspannung	Electrical properties Maximum rated values				
Vorwärts-Stoßspitzenperrspannung	repetitive peak forward off-state and reverse voltages	$t_{vj} = -40^\circ\text{C}...t_{vj \max}$	V_{DRM}, V_{RRM}	200 400 600	V
Rückwärts-Stoßspitzenperrspannung	non-repetitive peak forward off-state voltage	$t_{vj} = -40^\circ\text{C}...t_{vj \max}$	$V_{DSM} = V_{DRM}$	200 400 600	V
Durchlaßstrom-Grenzeffektivwert	RMS on-state current		I_{TRMSM}	800	A
Dauergrenzstrom	average on-state current	$t_c = 85^\circ\text{C}$	I_{TAVM}	398	A
		$t_c = 63^\circ\text{C}$		510	A
Stoßstrom-Grenzwert	surge current	$t_{vj} = 25^\circ\text{C}, t_p = 10 \text{ ms}$ $t_{vj} = t_{vj \max}, t_p = 10 \text{ ms}$	I_{TSM}	6300	A
Grenzlastintegral	$I^2 t$ -value	$t_{vj} = 25^\circ\text{C}, t_p = 10 \text{ ms}$ $t_{vj} = t_{vj \max}, t_p = 10 \text{ ms}$	$I^2 t$	198000 151000	$\text{A}^2 \text{s}$ $\text{A}^2 \text{s}$
Kritische Stromsteilheit	critical rate of rise of on-state current	$v_D \leq 67\%, V_{DRM}, f = 50 \text{ Hz}$ $v_L = 10 \text{ V}, i_{GM} = 0.6 \text{ A}, di_G/dt = 0.6 \text{ A}/\mu\text{s}$	$(di_T/dt)_{cr}$	200	$\text{A}/\mu\text{s}$
Kritische Spannungssteilheit	critical rate of rise of off-state voltage	$t_{vj} = t_{vj \max}, v_D = 67\% V_{DRM}$	$(dv/dt)_{cr}$	1000	$\text{V}/\mu\text{s}$
Charakteristische Werte					
Durchlaßspannung	Characteristic values on-state voltage	$t_{vj} = t_{vj \max}, i_T = 1500 \text{ A}$	v_T	max. 1,68	V
Schleusenspannung	threshold voltage	$t_{vj} = t_{vj \max}$	$V_{T(TO)}$	1	V
Ersatzwiderstand	slope resistance	$t_{vj} = t_{vj \max}$	r_T	0,4	$\text{m}\Omega$
Zündstrom	gate trigger current	$t_{vj} = 25^\circ\text{C}, v_D = 6 \text{ V}$	I_{GT}	max. 150	mA
Zündspannung	gate trigger voltage	$t_{vj} = 25^\circ\text{C}, v_D = 6 \text{ V}$	V_{GT}	max. 1,4	V
Nicht zündender Steuerstrom	gate non-trigger current	$t_{vj} = t_{vj \max}, v_D = 6 \text{ V}$	I_{GD}	max. 5	mA
Nicht zündende Steuerspannung	gate non-trigger voltage	$t_{vj} = t_{vj \max}, v_D = 0,5 V_{DRM}$	V_{GD}	max. 0,2	V
Haltestrom	holding current	$t_{vj} = 25^\circ\text{C}, v_D = 6 \text{ V}, R_A = 5 \Omega$	I_H	max. 200	mA
Einraststrom	latching current	$t_{vj} = 25^\circ\text{C}, v_D = 6 \text{ V}, R_{GK} \geq 10 \Omega$ $i_{GM} = 0,6 \text{ A}, di_G/dt = 0,6 \text{ A}/\mu\text{s}, t_g = 20 \mu\text{s}$	I_L	max. 620	mA
Vorwärts- und Rückwärts-Sperrstrom	forward off-state and reverse currents	$t_{vj} = t_{vj \max}, v_D = V_{DRM}, v_R = V_{RRM}$	i_D, i_R	max. 30	mA
Zündverzug	gate controlled delay time	$t_{vj} = 25^\circ\text{C}, i_{GM} = 0,6 \text{ A}, di_G/dt = 0,6 \text{ A}/\mu\text{s}$	t_{gd}	max. 3	μs
Freiwerdezeit	circuit commutated turn-off time	siehe Techn. Erl./see Techn. Inf.	t_q	typ. 200	μs
Thermische Eigenschaften					
Innerer Wärmewiderstand für beidseitige Kühlung	Thermal properties thermal resistance, junction to case for two-sided cooling	$\Theta = 180^\circ \text{ el, sin}$	R_{thJC}	max. 0,1	$^\circ\text{C}/\text{W}$
für anodenseitige Kühlung	for anode-sided cooling	DC		max. 0,092	$^\circ\text{C}/\text{W}$
für kathodenseitige Kühlung	for cathode-sided cooling	$\Theta = 180^\circ \text{ el, sin}$ DC	$R_{thJC(A)}$	max. 0,18 max. 0,17	$^\circ\text{C}/\text{W}$ $^\circ\text{C}/\text{W}$
Übergangs-Wärmewiderstand	thermal resistance, case to heatsink	$\Theta = 180^\circ \text{ el, sin}$ beidseitig/two-sided einseitig/one-sided	R_{thCK}	max. 0,213 max. 0,205	$^\circ\text{C}/\text{W}$ $^\circ\text{C}/\text{W}$
Höchstzul. Sperrsichttemperatur	max. junction temperature		$t_{vj \max}$	140	°C
Betriebstemperatur	operating temperature		$t_{c op}$	-40...+140	°C
Lagertemperatur	storage temperature		t_{stg}	-40...+140	°C
Mechanische Eigenschaften					
Si-Elemente mit Druckkontakt	Mechanical properties Si-pellet with pressure contact				
Anpreßkraft	clamping force		F	3...6	kN
Gewicht	weight		G	typ. 70	g
Kriechstrecke	creepage distance			17	mm
Feuchteklass	humidity classification	DIN 40040			C
Schwingfestigkeit	vibration resistance	$f = 50 \text{ Hz}$		50	m/s^2
Maßbild, anliegend	outline, attached	DIN 41814-151 A4			

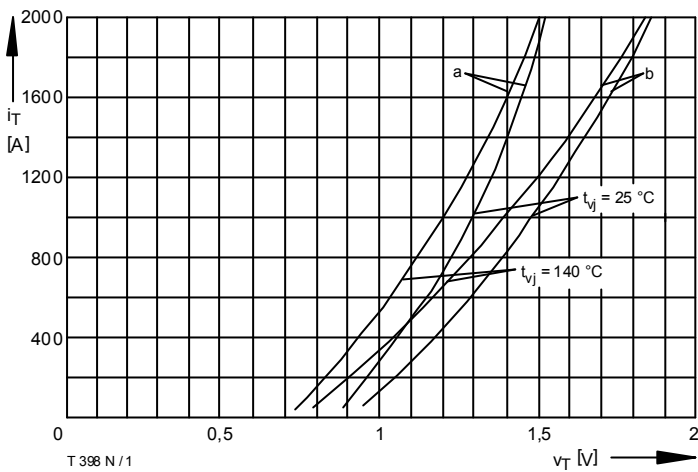


Bild / Fig. 1
Durchlaßkennlinie / On-state characteristic $i_T = f(v_T)$
a - Typische Kennlinien / typical characteristics
b - Grenzkennlinien / limiting characteristics

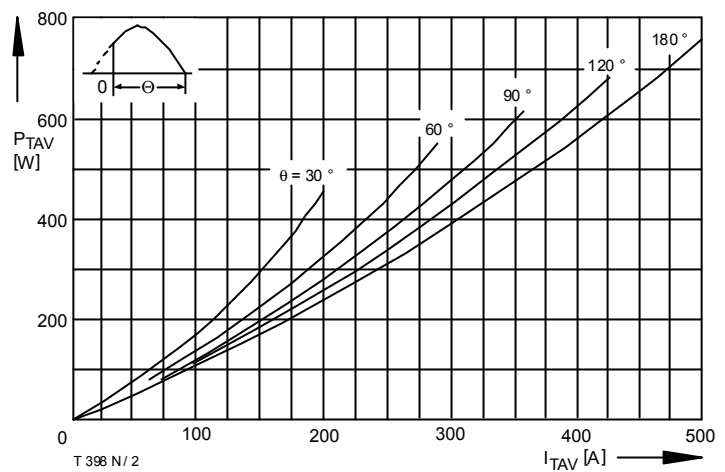


Bild / Fig. 2
Durchlaßverlustleistung / On-state power loss $P_{TAV} = f(I_{TAV})$
Parameter: Stromflußwinkel / Current conduction angle θ

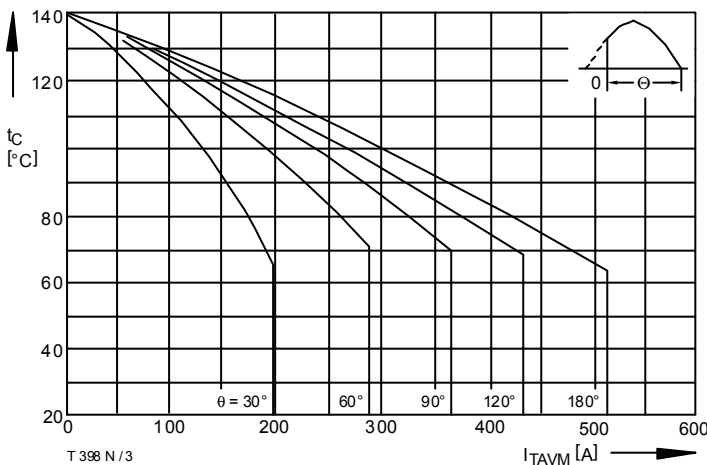


Bild / Fig. 3
Höchstzulässige Gehäusetemperatur / Max. allowable case temperature $t_C = f(I_{TAVM})$
Beidseitige Kühlung / Two-sided cooling
Parameter: Stromflußwinkel / Current conduction angle θ

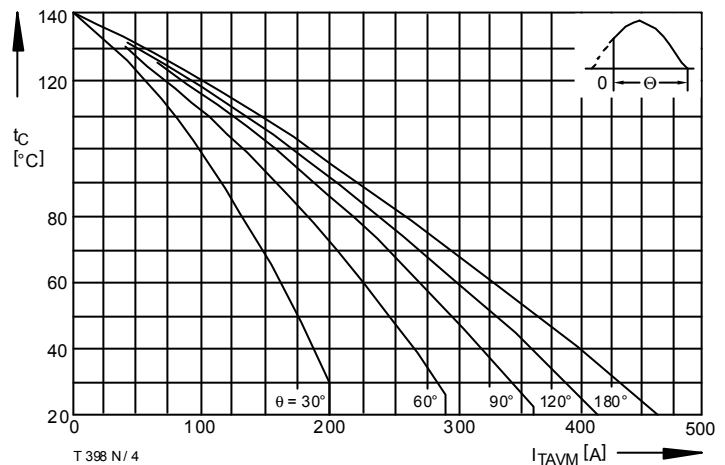


Bild / Fig. 4
Höchstzulässige Gehäusetemperatur / Max. allowable case temperature $t_C = f(I_{TAVM})$
Anodenseitige Kühlung / Anode-sided cooling
Parameter: Stromflußwinkel / Current conduction angle θ

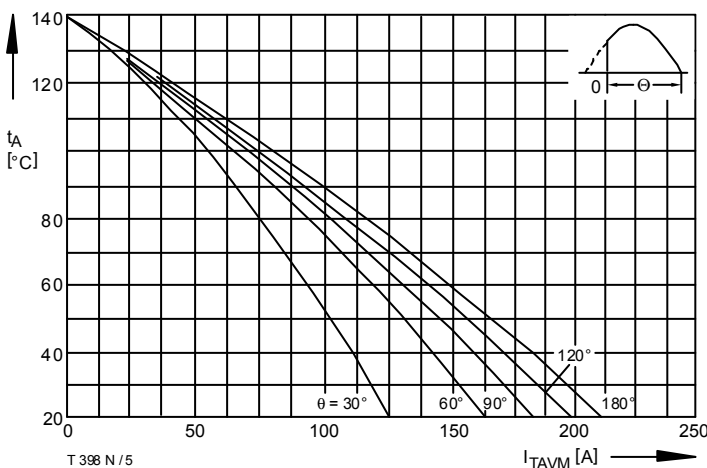


Bild / Fig. 5
Höchstzulässige Kühlmitteltemperatur / Max. allowable cooling medium temperature $t_A = f(I_{TAVM})$
Luftselbstkühlung / Natural air-cooling
Kühlkörper / Heatsink: K0.36S
Parameter: Stromflußwinkel / Current conduction angle θ

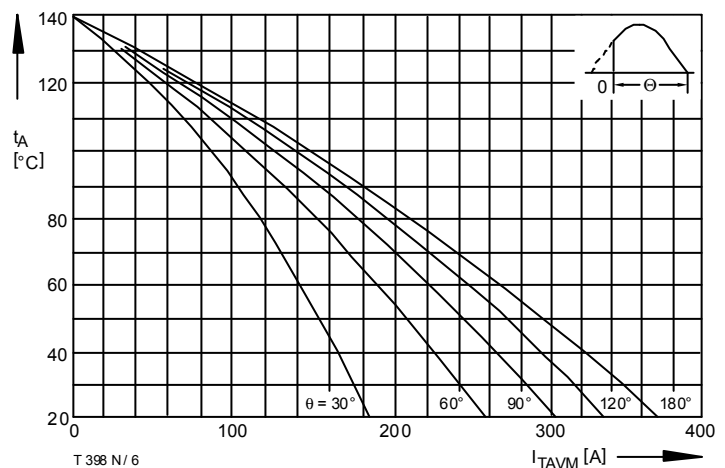


Bild / Fig. 6
Höchstzulässige Kühlmitteltemperatur / Max. allowable cooling medium temperature $t_A = f(I_{TAVM})$
Verstärkte Luftkühlung / Forced air cooling
Kühlkörper / Heatsink: K0.12F, $V_L = 50$ l/s
Parameter: Stromflußwinkel / Current conduction angle θ

T 398 N

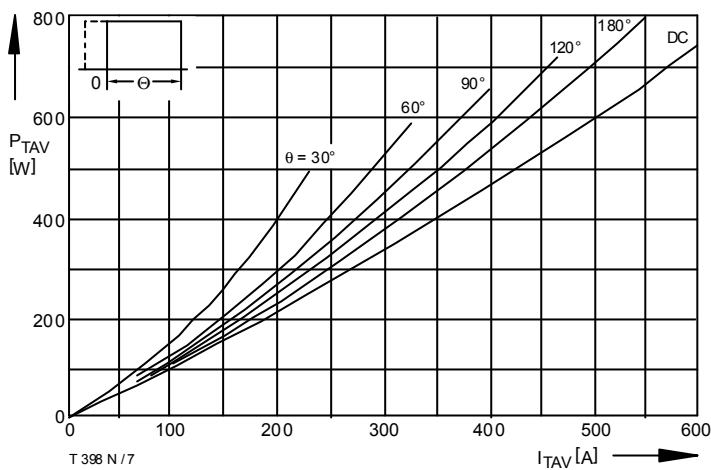


Bild / Fig. 7

Durchlaßverlustleistung / On-state power loss $P_{TAV} = f(I_{TAV})$
Parameter: Stromflußwinkel / Current conduction angle θ

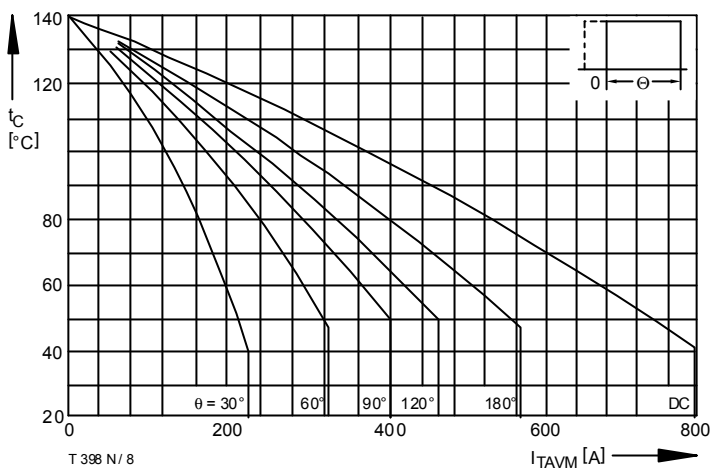


Bild / Fig. 8

Höchstzulässige Gehäusetemperatur / Max. allowable case temperature
 $t_C = f(I_{TAVM})$
Beidseitige Kühlung / Two-sided cooling
Parameter: Stromflußwinkel / Current conduction angle θ

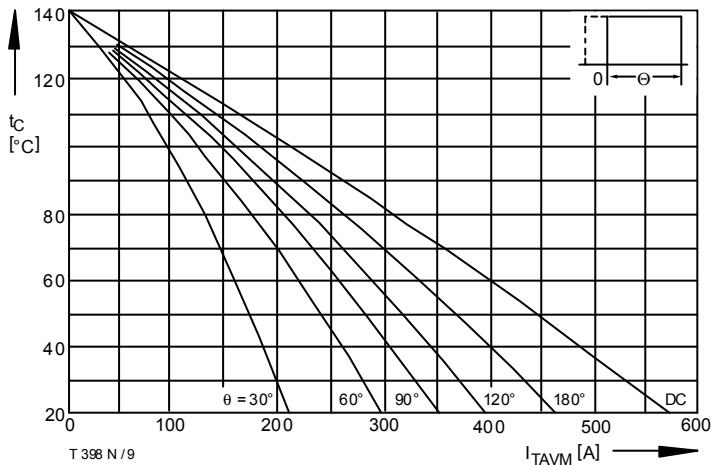


Bild / Fig. 9

Höchstzulässige Gehäusetemperatur / Max. allowable case temperature
 $t_C = f(I_{TAVM})$
Anodenseitige Kühlung / Anode-sided cooling
Parameter: Stromflußwinkel / Current conduction angle θ

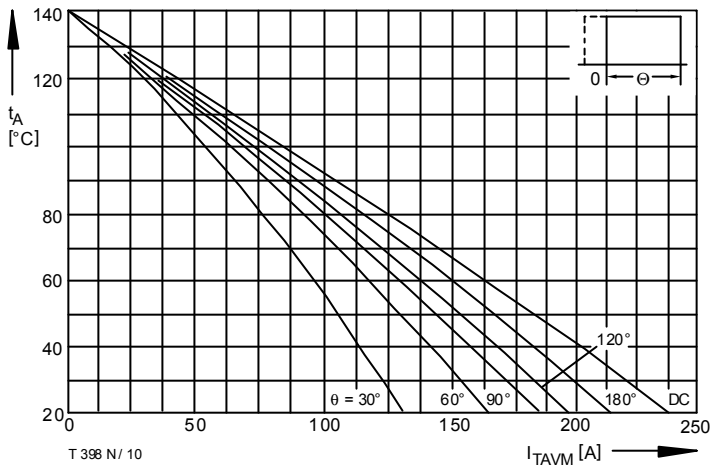


Bild / Fig. 10

Höchstzulässige Kühlmitteltemperatur / Max. allowable cooling medium temperature
 $t_A = f(I_{TAVM})$
Luftselbstkühlung / Natural air-cooling
Kühlkörper / Heatsink: K0.36S
Parameter: Stromflußwinkel / Current conduction angle θ

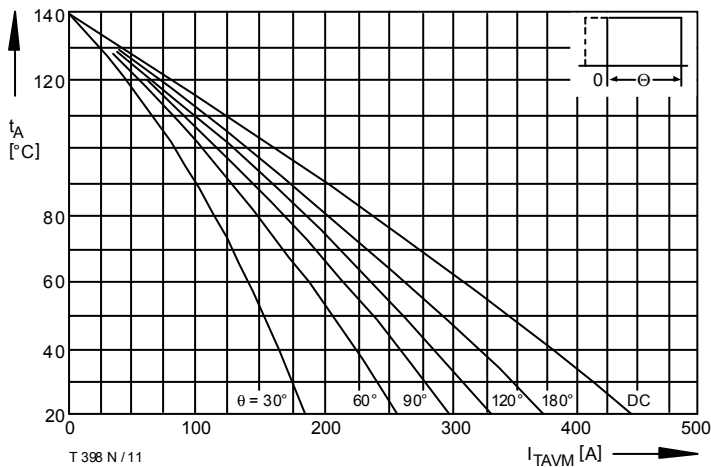


Bild / Fig. 11

Höchstzulässige Kühlmitteltemperatur / Max. allowable cooling medium temperature
 $t_A = f(I_{TAVM})$
Verstärkte Luftkühlung / forced air cooling
Kühlkörper / Heatsink: K0.12F, $V_L = 50$ l/s
Parameter: Stromflußwinkel / Current conduction angle θ

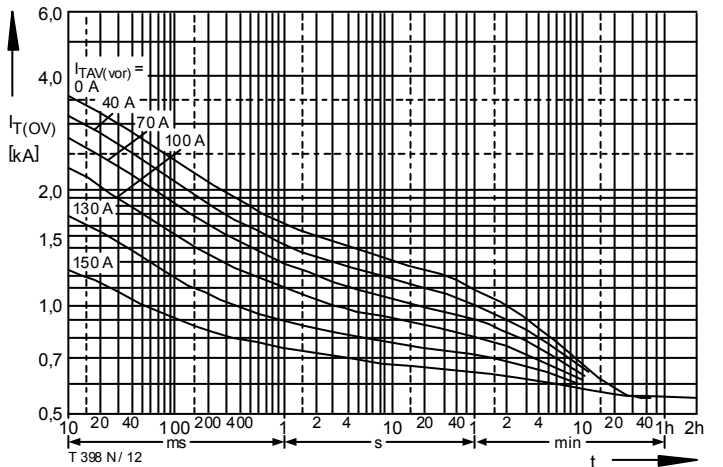


Bild / Fig. 12

Überstrom / Overload on-state current $I_{T(OV)} = f(t)$
Luftselbstkühlung / Natural air-cooling $t_A = 45^\circ\text{C}$
Kühlkörper / Heatsink: K0.36S
Parameter: Vorlaststrom / Pre-load current $I_{TAV(vor)}$

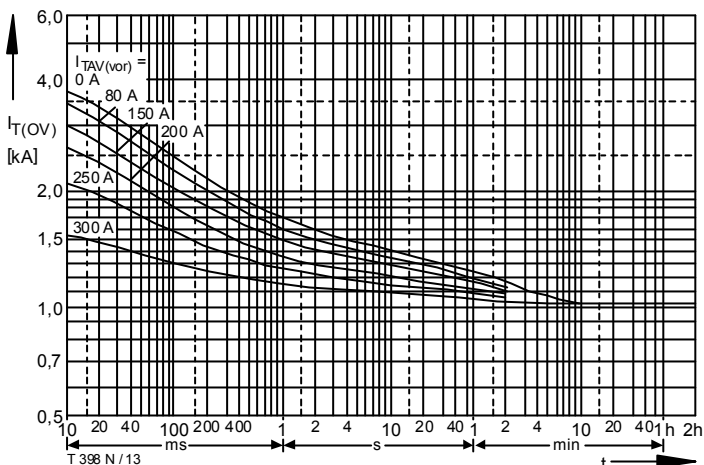


Bild / Fig. 13

Überstrom / Overload on-state current $I_{T(OV)} = f(t)$
Verstärkte Luftkühlung / Forced air-cooling, $t_A = 35^\circ\text{C}$
Kühlkörper / Heatsink: K0.12F, $V_L = 50 \text{ l/s}$
Parameter: Vorlaststrom / Pre-load current $I_{TAV(vor)}$

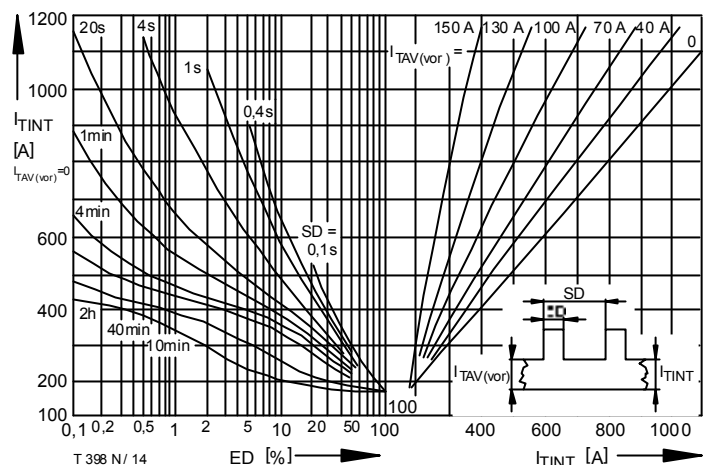


Bild / Fig. 14

Höchstzulässiger Durchlaßstrom bei Aussetzbetrieb / Max. allowable on-state current at intermittent operation $I_{TINT} = f(ED)$
Luftselbstkühlung / Natural air-cooling, $t_A = 45^\circ\text{C}$
Kühlkörper / Heatsink: K0.36S
Parameter: Spieldauer / Cycle duration SD
Vorlaststrom / Pre-load current $I_{TAV(vor)}$

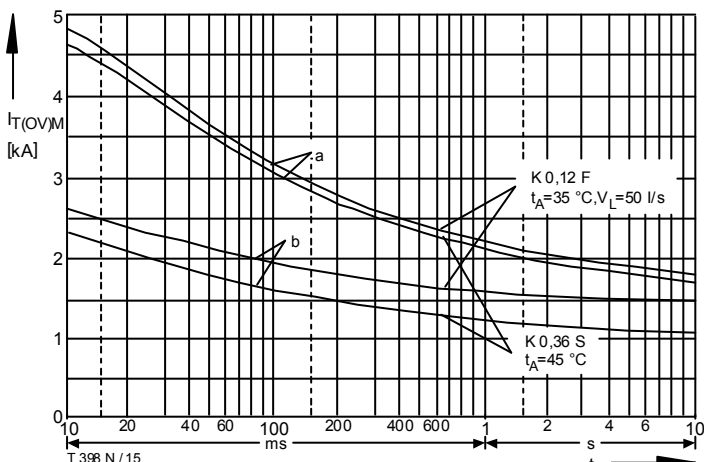


Bild / Fig. 15

Höchstzulässiger Durchlaßstrom bei Aussetzbetrieb / Max. allowable on-state current at intermittent operation $I_{TINT} = f(ED)$
Verstärkte Luftkühlung / Forced air-cooling, $t_A = 35^\circ\text{C}$
Kühlkörper / Heatsink: K0.12F, $V_L = 50 \text{ l/s}$
Parameter: Spieldauer / Cycle duration SD
Vorlaststrom / Pre-load current $I_{TAV(vor)}$

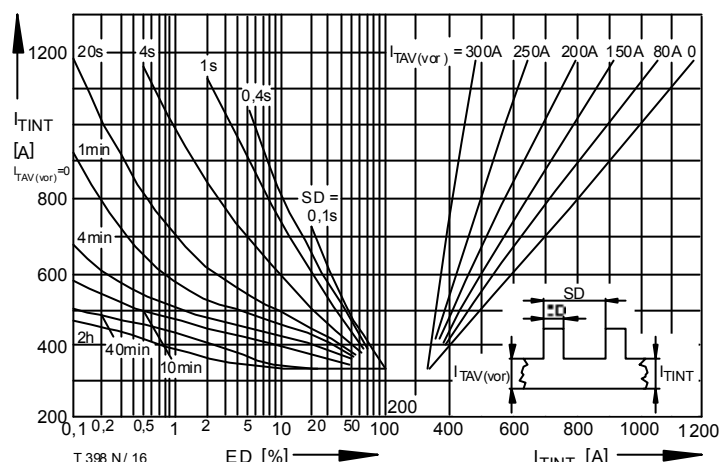


Bild / Fig. 16

Grenzstrom / Max. overload on-state current $I_{T(OV)M} = f(t)$, $v_{RM} = 0,8 V_{RRM}$
Beidseitige Kühlung / Two-sided cooling
Kühlkörper / Heatsink: K0.36S, K0.12F
Belastung aus / Surge current occurs:
a - Leerlauf / No-load conditions
b - Betrieb mit Dauergrenzstrom / During operation at max. average on-state current I_{TAVM}

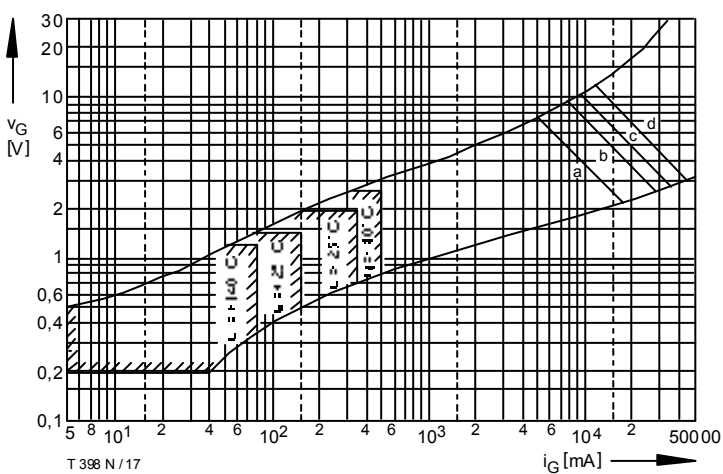


Bild / Fig. 17

Steuercharakteristik mit Zündbereichen / Gate characteristic with triggering areas $v_G = f(i_G)$, $V_D = 6 \text{ V}$
Parameter:
a b c d
Steuerimpulsdauer / trigger pulse duration t_g [ms] 10 1 0,5 0,1
Höchstzulässige Spitzensteuerverlustleistung /
Max. rated peak gate power dissipation [W] 40 80 100 150

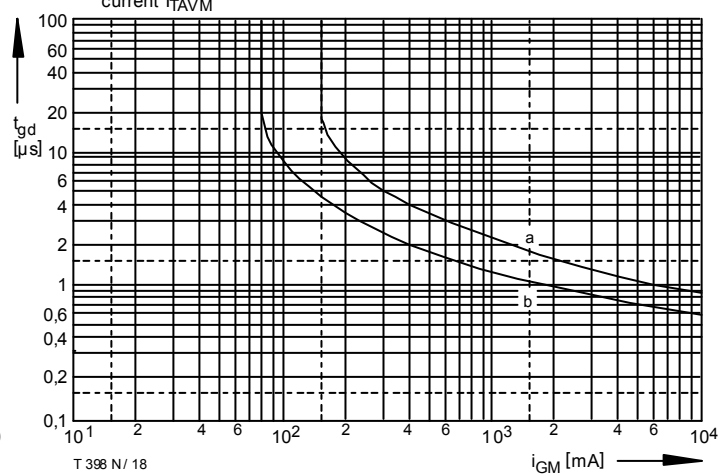


Bild / Fig. 18

Zündverzug / Gate controlled delay time $t_{gd} = f(i_{GM})$
 $t_{vj} = 25^\circ\text{C}$, $di_G/dt = i_{GM}/1\mu\text{s}$
a - Maximaler Verlauf / Limiting characteristic
b - Typischer Verlauf / Typical characteristic

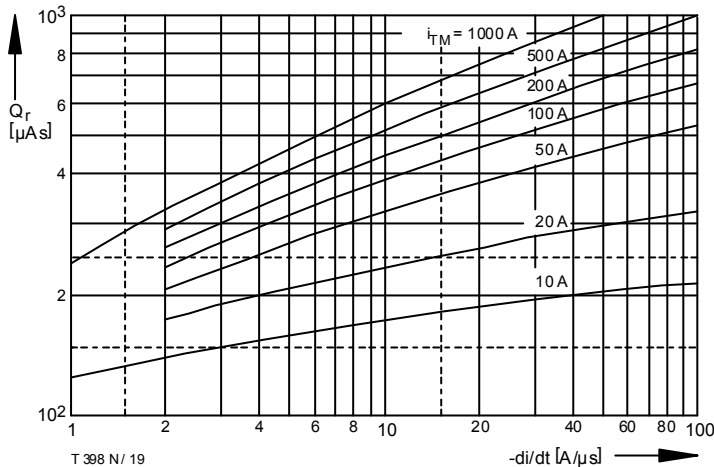


Bild / Fig. 19
Sperrverzögerungsladung / Recovered charge $Q_r = f(-di/dt)$
 $t_{vj} = t_{vj \max}$, $V_R = 0,5 V_{RRM}$, $V_{RM} = 0,8 V_{RRM}$
Parameter: Durchlaßstrom / On-state current i_{TM}

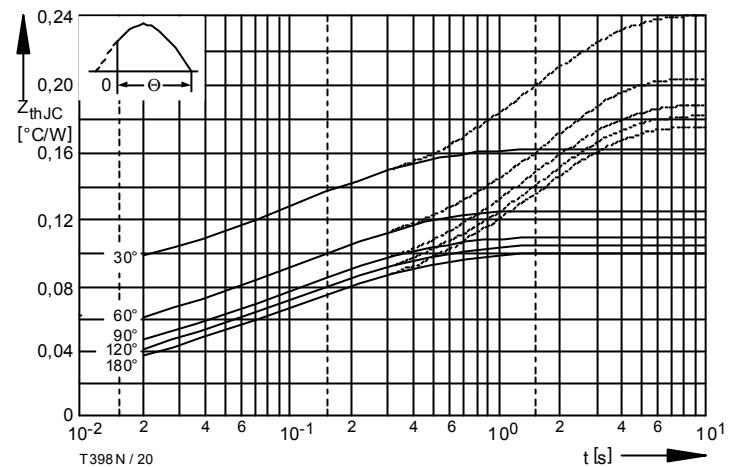


Bild / Fig. 20
Transienter innerer Wärmewiderstand / Transient thermal impedance
 $Z_{thJC} = f(t)$
--- Anodenseitige Kühlung / Anode-sided cooling
— Beidseitige Kühlung / Two-sided cooling
Parameter: Stromflußwinkel / current conduction angle θ

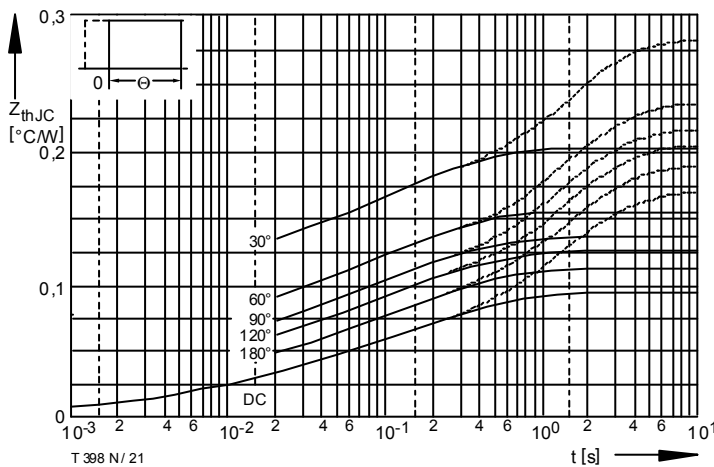


Bild / Fig. 21
Transienter innerer Wärmewiderstand / Transient thermal impedance
 $Z_{thJC} = f(t)$
--- Anodenseitige Kühlung / Anode-sided cooling
— Beidseitige Kühlung / Two-sided cooling
Parameter: Stromflußwinkel / current conduction angle θ

Analytische Elemente des transienten Wärmewiderstandes Z_{thJC} pro Zweig für DC
Analytical elements of transient thermal impedance Z_{thJC} per arm for DC

Beidseitig / Two-sided

Pos. n	1	2	3	4	5
$R_{thn}[^{\circ}\text{C}/\text{W}]$	0,00438	0,0048	0,01073	0,03436	0,03807
$\tau_n [\text{s}]$	0,0004	0,00135	0,00685	0,0544	0,325

Anodenseitig / Anode-sided

Pos. n	1	2	3	4	5
$R_{thn}[^{\circ}\text{C}/\text{W}]$	0,00438	0,0048	0,01073	0,03936	0,11073
$\tau_n [\text{s}]$	0,0004	0,00135	0,00685	0,0544	1,57

Kathodenseitig / Cathode-sided

Pos. n	1	2	3	4	5
$R_{thn}[^{\circ}\text{C}/\text{W}]$	0,00438	0,0048	0,01073	0,03557	0,14952
$\tau_n [\text{s}]$	0,0004	0,00135	0,00685	0,0544	1,462

Analytische Funktion / Analytical function:

$$Z_{thJC} = \sum_{n=1}^{n_{\max}} R_{thn} (1 - e^{-\frac{t}{\tau_n}})$$